

Fardeau de dérive et structure spatiale

Raphaël Forien¹ Sarah Penington²

¹CMAP - École Polytechnique

²Department of Statistics
University of Oxford

École de Printemps d'Aussois, 6-9 juin 2016

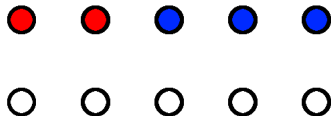


- 1 locus

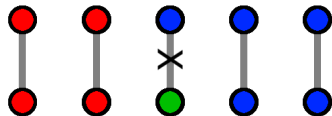


- 1 locus
- plusieurs allèles

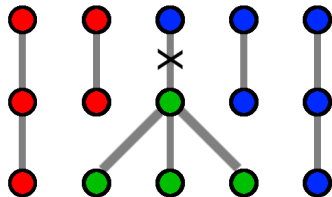
- 1 locus
- plusieurs allèles



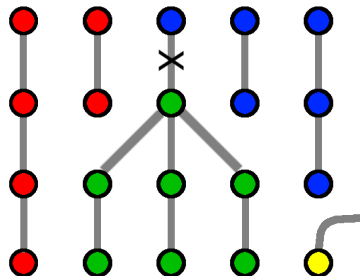
- 1 locus
- plusieurs allèles
- mutations



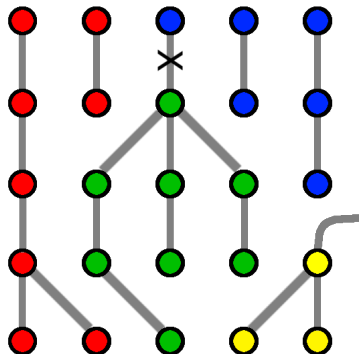
- 1 locus
- plusieurs allèles
- mutations
- sélection



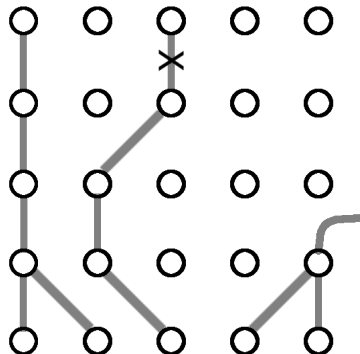
- 1 locus
- plusieurs allèles
- mutations
- sélection
- migration



- 1 locus
- plusieurs allèles
- mutations
- sélection
- migration
- dérive génétique



- 1 locus
- plusieurs allèles
- mutations
- sélection
- migration
- dérive génétique



Surdominance

Hypothèses : population diploïde, N individus, pas de structure spatiale.
1 locus, 2 allèles possibles : A_1 et A_2 .

Surdominance

Hypothèses : population diploïde, N individus, pas de structure spatiale.
1 locus, 2 allèles possibles : A_1 et A_2 .

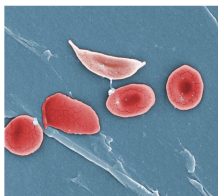
$$\begin{array}{ccc} A_1A_1 & A_1A_2 & A_2A_2 \\ 1 - s_1 & 1 & 1 - s_2 \end{array}$$

Surdominance

Hypothèses : population diploïde, N individus, pas de structure spatiale.
1 locus, 2 allèles possibles : A_1 et A_2 .

$$\begin{array}{ccc} A_1A_1 & A_1A_2 & A_2A_2 \\ 1 - s_1 & 1 & 1 - s_2 \end{array}$$

Exemples : drépanocytose, maladie de Tay-Sachs.



©CC-BY 3.0 OpenStax College

q : proportion d'allèle A_1 dans la population.

Fitness moyenne dans la population :

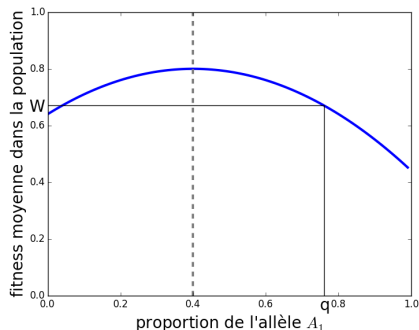
$$\begin{aligned}\bar{W}(q) &= 1 - s_1 q^2 - s_2 (1 - q)^2 \\ &= 1 - \frac{s_1 s_2}{s_1 + s_2} - (s_1 + s_2)(q - \lambda)^2\end{aligned}$$

Fitness moyenne

q : proportion d'allèle A_1 dans la population.

Fitness moyenne dans la population :

$$\begin{aligned}\bar{W}(q) &= 1 - s_1 q^2 - s_2 (1 - q)^2 \\ &= 1 - \frac{s_1 s_2}{s_1 + s_2} - (s_1 + s_2)(q - \lambda)^2\end{aligned}$$

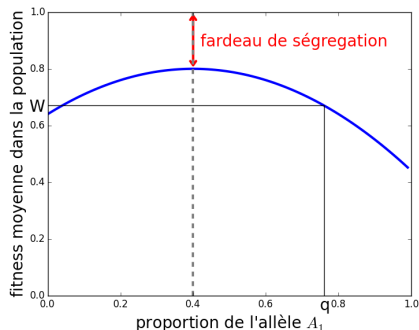


Fitness moyenne

q : proportion d'allèle A_1 dans la population.

Fitness moyenne dans la population :

$$\begin{aligned}\bar{W}(q) &= 1 - s_1 q^2 - s_2 (1 - q)^2 \\ &= 1 - \frac{s_1 s_2}{s_1 + s_2} - (s_1 + s_2)(q - \lambda)^2\end{aligned}$$

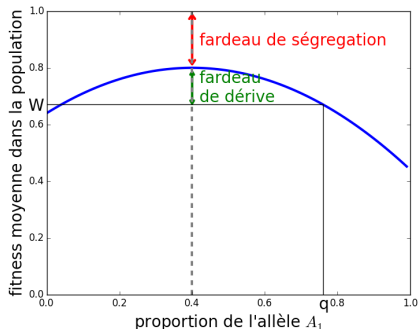


Fitness moyenne

q : proportion d'allèle A_1 dans la population.

Fitness moyenne dans la population :

$$\begin{aligned}\bar{W}(q) &= 1 - s_1 q^2 - s_2 (1 - q)^2 \\ &= 1 - \frac{s_1 s_2}{s_1 + s_2} - (s_1 + s_2)(q - \lambda)^2\end{aligned}$$



Fardeau de dérive :

$$\Delta := (s_1 + s_2)(q - \lambda)^2.$$

Théorème (Robertson, '70)

Dans une population panmictique, avec

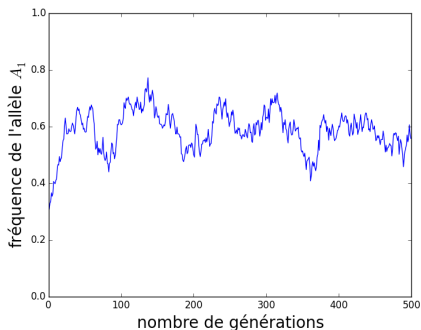
$$N \rightarrow \infty, \quad s_1, s_2 \rightarrow 0, \quad (s_1 + s_2)N \rightarrow \infty,$$

le fardeau de dérive est indépendant de l'intensité de la sélection. De plus

$$\mathbb{E}[\Delta] = \frac{1}{4N}.$$

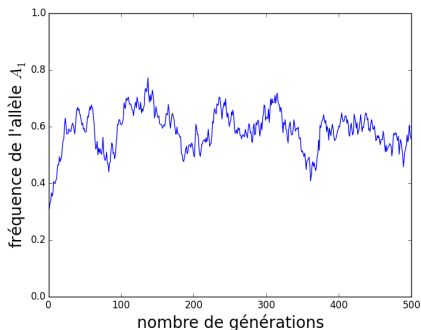
Diffusion de Wright-Fisher

$$\begin{cases} dq_t = (s_1 + s_2)q_t(1 - q_t)(\lambda - q_t)dt + \sqrt{\frac{1}{2N}q_t(1 - q_t)}dW_t \\ q_0 = \lambda. \end{cases}$$



Diffusion de Wright-Fisher

$$\begin{cases} dq_t = \overbrace{(s_1 + s_2)q_t(1 - q_t)(\lambda - q_t)dt}^{\text{sélection}} + \overbrace{\sqrt{\frac{1}{2N}q_t(1 - q_t)}dW_t}^{\text{dérive}} \\ q_0 = \lambda. \end{cases}$$



$$\begin{cases} dq_t = (s_1 + s_2)q_t(1 - q_t)(\lambda - q_t)dt + \sqrt{\frac{1}{2N}q_t(1 - q_t)}dW_t \\ q_0 = \lambda. \end{cases}$$

Théorème (F. M. Norman, '74-'75)

Sous les hypothèses

$$N \rightarrow \infty, \quad s_1, s_2 \rightarrow 0, \quad (s_1 + s_2)N \rightarrow \infty,$$

lorsque N et t tendent vers $+\infty$,

$$q_t \rightarrow \lambda, \quad ((s_1 + s_2)N)^{1/2}(q_t - \lambda) \rightarrow \mathcal{N}(0, 1/4).$$

$$dq_t = (s_1 + s_2)q_t(1 - q_t)(\lambda - q_t)dt + \sqrt{\frac{1}{2N}q_t(1 - q_t)}dW_t$$

$$\begin{aligned}dq_t &= (s_1 + s_2)q_t(1 - q_t)(\lambda - q_t)dt + \sqrt{\frac{1}{2N}q_t(1 - q_t)}dW_t \\ &= -(s_1 + s_2)\lambda(1 - \lambda)(q_t - \lambda)dt + \sqrt{\frac{1}{2N}\lambda(1 - \lambda)}dW_t + \mathcal{O}((q_t - \lambda)^2)\end{aligned}$$

$$\begin{aligned}dq_t &= (s_1 + s_2)q_t(1 - q_t)(\lambda - q_t)dt + \sqrt{\frac{1}{2N}q_t(1 - q_t)}dW_t \\ &= -(s_1 + s_2)\lambda(1 - \lambda)(q_t - \lambda)dt + \sqrt{\frac{1}{2N}\lambda(1 - \lambda)}dW_t + \mathcal{O}((q_t - \lambda)^2)\end{aligned}$$

$(q_t - \lambda)$ est un processus d'Ornstein-Uhlenbeck. Sa loi stationnaire est $\mathcal{N}(0, \sigma^2)$, avec

$$\sigma^2 = \frac{\frac{1}{2N}\lambda(1 - \lambda)}{2(s_1 + s_2)\lambda(1 - \lambda)}$$

$$\begin{aligned}dq_t &= (s_1 + s_2)q_t(1 - q_t)(\lambda - q_t)dt + \sqrt{\frac{1}{2N}q_t(1 - q_t)}dW_t \\ &= -(s_1 + s_2)\lambda(1 - \lambda)(q_t - \lambda)dt + \sqrt{\frac{1}{2N}\lambda(1 - \lambda)}dW_t + \mathcal{O}((q_t - \lambda)^2)\end{aligned}$$

$(q_t - \lambda)$ est un processus d'Ornstein-Uhlenbeck. Sa loi stationnaire est $\mathcal{N}(0, \sigma^2)$, avec

$$\sigma^2 = \frac{\frac{1}{2N}\lambda(1 - \lambda)}{2(s_1 + s_2)\lambda(1 - \lambda)} = \frac{1}{4N(s_1 + s_2)}$$

$$\begin{aligned}dq_t &= (s_1 + s_2)q_t(1 - q_t)(\lambda - q_t)dt + \sqrt{\frac{1}{2N}q_t(1 - q_t)}dW_t \\ &= -(s_1 + s_2)\lambda(1 - \lambda)(q_t - \lambda)dt + \sqrt{\frac{1}{2N}\lambda(1 - \lambda)}dW_t + \mathcal{O}((q_t - \lambda)^2)\end{aligned}$$

$(q_t - \lambda)$ est un processus d'Ornstein-Uhlenbeck. Sa loi stationnaire est $\mathcal{N}(0, \sigma^2)$, avec

$$\sigma^2 = \frac{\frac{1}{2N}\lambda(1 - \lambda)}{2(s_1 + s_2)\lambda(1 - \lambda)} = \frac{1}{4N(s_1 + s_2)}$$

Le fardeau de dérive est donc

$$\mathbb{E}[\Delta] = (s_1 + s_2)\mathbb{E}[(q_t - \lambda)^2] = \frac{1}{4N}.$$

Ne dépend pas de l'intensité de la sélection !

Théorème (Robertson, '70)

Le fardeau de dérive est indépendant de l'intensité de la sélection.

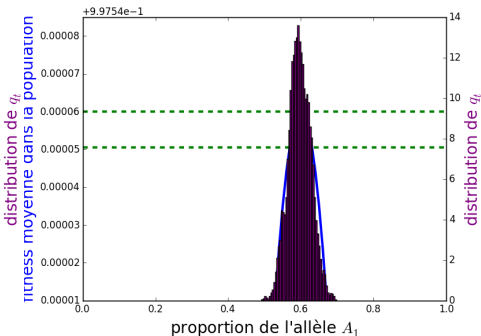
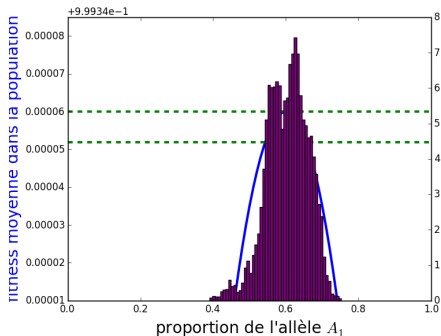
$$\mathbb{E}[\Delta] = \frac{1}{4N}.$$

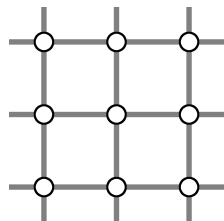
Ne dépend pas de l'intensité de la sélection !

Théorème (Robertson, '70)

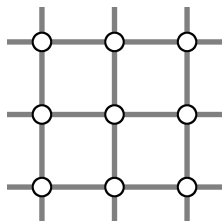
Le fardeau de dérive est indépendant de l'intensité de la sélection.

$$\mathbb{E}[\Delta] = \frac{1}{4N}.$$



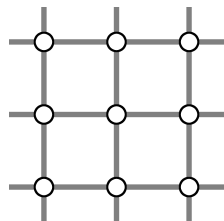


N individus par site ($2N$ copies du gène).
 $(q_t(x), x \in \mathbb{Z}^d)$: proportion d'allèle A_1 pour chaque site.



N individus par site ($2N$ copies du gène).
 $(q_t(x), x \in \mathbb{Z}^d)$: proportion d'allèle A_1 pour chaque site.

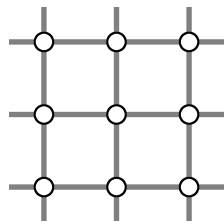
Chaque copie du gène au site x de la génération $n + 1$ choisi un parent parmi les copies présentes à la génération n



N individus par site ($2N$ copies du gène).
 $(q_t(x), x \in \mathbb{Z}^d)$: proportion d'allèle A_1 pour chaque site.

Chaque copie du gène au site x de la génération $n + 1$ choisi un parent parmi les copies présentes à la génération n

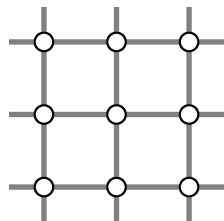
- avec proba m au sein des $2d$ sites voisins,



N individus par site ($2N$ copies du gène).
 $(q_t(x), x \in \mathbb{Z}^d)$: proportion d'allèle A_1 pour chaque site.

Chaque copie du gène au site x de la génération $n + 1$ choisi un parent parmi les copies présentes à la génération n

- avec proba m au sein des $2d$ sites voisins,
- avec proba $(1 - m) \frac{q_n(x) - s_1 q_n(x)^2}{W(q_n(x))}$ parmi les copies de type A_1 du site x ,



N individus par site ($2N$ copies du gène).
($q_t(x), x \in \mathbb{Z}^d$) : proportion d'allèle A_1 pour chaque site.

Chaque copie du gène au site x de la génération $n + 1$ choisi un parent parmi les copies présentes à la génération n

- avec proba m au sein des $2d$ sites voisins,
- avec proba $(1 - m) \frac{q_n(x) - s_1 q_n(x)^2}{W(q_n(x))}$ parmi les copies de type A_1 du site x ,
- avec proba $(1 - m) \frac{(1 - q_n(x)) - s_2 (1 - q_n(x))^2}{W(q_n(x))}$ parmi les copies de type A_2 du site x .

$$\Delta = (s_1 + s_2)(q_t(x) - \lambda)^2$$

Théorème (Penington, F. '15)

Le fardeau de dérive dépend de la dimension de l'espace dans lequel la population évolue. Pour

$$N \rightarrow \infty, \quad s_1, s_2 \rightarrow 0, \quad (s_1 + s_2)^2 N \rightarrow \infty,$$

- si $d = 1$, $\mathbb{E}[\Delta] \propto \frac{\sqrt{s_1 + s_2}}{2N}$,
- si $d = 2$, $\mathbb{E}[\Delta] \propto \frac{1}{2N}(s_1 + s_2) |\log(s_1 + s_2)|$,
- si $d \geq 3$, $\mathbb{E}[\Delta] \propto \frac{1}{2N}(s_1 + s_2)$.

Notons

$$\bar{q}(x) = \frac{1}{2^d} \sum_{y \sim x} q(y).$$

Notons

$$\bar{q}(x) = \frac{1}{2^d} \sum_{y \sim x} q(y).$$

Modèle en *stepping stone* de Kimura ('53) :

$$dq_t(x) = (s_1 + s_2)q_t(x)(1 - q_t(x))(\lambda - q_t(x))dt + \sqrt{\frac{1}{2N}q_t(x)(1 - q_t(x))}dW_t(x).$$

Notons

$$\bar{q}(x) = \frac{1}{2^d} \sum_{y \sim x} q(y).$$

Modèle en *stepping stone* de Kimura ('53) :

$$dq_t(x) = m(\bar{q}_t(x) - q_t(x))dt + (s_1 + s_2)q_t(x)(1 - q_t(x))(\lambda - q_t(x))dt \\ + \sqrt{\frac{1}{2N}q_t(x)(1 - q_t(x))}dW_t(x).$$

Notons

$$\bar{q}(x) = \frac{1}{2^d} \sum_{y \sim x} q(y).$$

Modèle en *stepping stone* de Kimura ('53) :

$$dq_t(x) = m(\bar{q}_t(x) - q_t(x))dt + (s_1 + s_2)q_t(x)(1 - q_t(x))(\lambda - q_t(x))dt \\ + \sqrt{\frac{1}{2N}q_t(x)(1 - q_t(x))}dW_t(x).$$

Les mouvements Browniens $W_t(x), x \in \mathbb{Z}^d$ sont indépendants les uns des autres.

$$dq_t = m(\bar{q}_t - q_t)dt - (s_1 + s_2)q_t(1 - q_t)(q_t - \lambda)dt + \sqrt{\frac{1}{2N}q_t(1 - q_t)}dW_t$$

Résolution de l'équation linéarisée

$$\begin{aligned}dq_t &= m(\bar{q}_t - q_t)dt - (s_1 + s_2)q_t(1 - q_t)(q_t - \lambda)dt + \sqrt{\frac{1}{2N}q_t(1 - q_t)}dW_t \\ &= m(\bar{q}_t - q_t)dt - (s_1 + s_2)\lambda(1 - \lambda)(q_t - \lambda)dt + \sqrt{\frac{1}{2N}\lambda(1 - \lambda)}dW_t\end{aligned}$$

Résolution de l'équation linéarisée

$$\begin{aligned}dq_t &= m(\bar{q}_t - q_t)dt - (s_1 + s_2)q_t(1 - q_t)(q_t - \lambda)dt + \sqrt{\frac{1}{2N}q_t(1 - q_t)}dW_t \\&= m(\bar{q}_t - q_t)dt - (s_1 + s_2)\lambda(1 - \lambda)(q_t - \lambda)dt + \sqrt{\frac{1}{2N}\lambda(1 - \lambda)}dW_t \\&= (\bar{q}_t - q_t)dt - (s_1 + s_2)(q_t - \lambda)dt + \sqrt{\frac{1}{2N}}dW_t\end{aligned}$$

Résolution de l'équation linéarisée

$$\begin{aligned}dq_t &= m(\bar{q}_t - q_t)dt - (s_1 + s_2)q_t(1 - q_t)(q_t - \lambda)dt + \sqrt{\frac{1}{2N}q_t(1 - q_t)}dW_t \\&= m(\bar{q}_t - q_t)dt - (s_1 + s_2)\lambda(1 - \lambda)(q_t - \lambda)dt + \sqrt{\frac{1}{2N}\lambda(1 - \lambda)}dW_t \\&= (\bar{q}_t - q_t)dt - (s_1 + s_2)(q_t - \lambda)dt + \sqrt{\frac{1}{2N}}dW_t\end{aligned}$$

Posons $g_t(x) = \mathbb{P}(X_t = x \mid X_0 = 0)$, où $(X_t)_{t \geq 0}$ est une marche aléatoire simple sur \mathbb{Z}^d . Alors

$$q_t(x) - \lambda = \sqrt{\frac{1}{2N}} \int_0^t e^{-(s_1+s_2)(t-s)} \sum_{y \in \mathbb{Z}^d} g_{t-s}(y - x) dW_s(y).$$

Résolution de l'équation linéarisée

$$\begin{aligned}dq_t &= m(\bar{q}_t - q_t)dt - (s_1 + s_2)q_t(1 - q_t)(q_t - \lambda)dt + \sqrt{\frac{1}{2N}q_t(1 - q_t)}dW_t \\&= m(\bar{q}_t - q_t)dt - (s_1 + s_2)\lambda(1 - \lambda)(q_t - \lambda)dt + \sqrt{\frac{1}{2N}\lambda(1 - \lambda)}dW_t \\&= (\bar{q}_t - q_t)dt - (s_1 + s_2)(q_t - \lambda)dt + \sqrt{\frac{1}{2N}}dW_t\end{aligned}$$

Posons $g_t(x) = \mathbb{P}(X_t = x \mid X_0 = 0)$, où $(X_t)_{t \geq 0}$ est une marche aléatoire simple sur \mathbb{Z}^d . Alors

$$q_t(x) - \lambda = \sqrt{\frac{1}{2N}} \int_0^t e^{-(s_1+s_2)(t-s)} \sum_{y \in \mathbb{Z}^d} g_{t-s}(y - x) dW_s(y).$$

Résolution de l'équation linéarisée

$$\begin{aligned}dq_t &= m(\bar{q}_t - q_t)dt - (s_1 + s_2)q_t(1 - q_t)(q_t - \lambda)dt + \sqrt{\frac{1}{2N}q_t(1 - q_t)}dW_t \\&= m(\bar{q}_t - q_t)dt - (s_1 + s_2)\lambda(1 - \lambda)(q_t - \lambda)dt + \sqrt{\frac{1}{2N}\lambda(1 - \lambda)}dW_t \\&= (\bar{q}_t - q_t)dt - (s_1 + s_2)(q_t - \lambda)dt + \sqrt{\frac{1}{2N}}dW_t\end{aligned}$$

Posons $g_t(x) = \mathbb{P}(X_t = x \mid X_0 = 0)$, où $(X_t)_{t \geq 0}$ est une marche aléatoire simple sur \mathbb{Z}^d . Alors

$$q_t(x) - \lambda = \sqrt{\frac{1}{2N}} \int_0^t e^{-(s_1+s_2)(t-s)} \sum_{y \in \mathbb{Z}^d} g_{t-s}(y - x) dW_s(y).$$

Résolution de l'équation linéarisée

$$\begin{aligned}dq_t &= m(\bar{q}_t - q_t)dt - (s_1 + s_2)q_t(1 - q_t)(q_t - \lambda)dt + \sqrt{\frac{1}{2N}q_t(1 - q_t)}dW_t \\&= m(\bar{q}_t - q_t)dt - (s_1 + s_2)\lambda(1 - \lambda)(q_t - \lambda)dt + \sqrt{\frac{1}{2N}\lambda(1 - \lambda)}dW_t \\&= (\bar{q}_t - q_t)dt - (s_1 + s_2)(q_t - \lambda)dt + \sqrt{\frac{1}{2N}}dW_t\end{aligned}$$

Posons $g_t(x) = \mathbb{P}(X_t = x \mid X_0 = 0)$, où $(X_t)_{t \geq 0}$ est une marche aléatoire simple sur \mathbb{Z}^d . Alors

$$q_t(x) - \lambda = \sqrt{\frac{1}{2N}} \int_0^t e^{-(s_1+s_2)(t-s)} \sum_{y \in \mathbb{Z}^d} g_{t-s}(y - x) dW_s(y).$$

Loi stationnaire de q_t

$$q_t - \lambda = \sqrt{\frac{1}{2N}} \int_0^t e^{-(s_1+s_2)(t-s)} \sum_{y \in \mathbb{Z}^d} g_{t-s}(y-x) dW_s(y)$$

La loi stationnaire de $q_t(x)$ est donc une Gaussienne de variance

$$\sigma^2 = \frac{1}{2N} \int_0^\infty e^{-2(s_1+s_2)t} \sum_{y \in \mathbb{Z}^d} g_t(y-x)^2 dt.$$

Loi stationnaire de q_t

$$q_t - \lambda = \sqrt{\frac{1}{2N}} \int_0^t e^{-(s_1+s_2)(t-s)} \sum_{y \in \mathbb{Z}^d} g_{t-s}(y-x) dW_s(y)$$

La loi stationnaire de $q_t(x)$ est donc une Gaussienne de variance

$$\sigma^2 = \frac{1}{2N} \int_0^\infty e^{-2(s_1+s_2)t} \sum_{y \in \mathbb{Z}^d} g_t(y-x)^2 dt.$$

Or

$$\begin{aligned} \sum_{x \in \mathbb{Z}^d} g_t(x)^2 &= \sum_{x \in \mathbb{Z}^d} \mathbb{P}(X_t = x \mid X_0 = 0) \mathbb{P}(X_t = 0 \mid X_0 = x) \\ &= \mathbb{P}(X_{2t} = 0 \mid X_0 = 0) = g_{2t}(0). \end{aligned}$$

$$q_t - \lambda = \sqrt{\frac{1}{2N}} \int_0^t e^{-(s_1+s_2)(t-s)} \sum_{y \in \mathbb{Z}^d} g_{t-s}(y-x) dW_s(y)$$

La loi stationnaire de $q_t(x)$ est donc une Gaussienne de variance

$$\sigma^2 = \frac{1}{2N} \int_0^\infty e^{-2(s_1+s_2)t} \sum_{y \in \mathbb{Z}^d} g_t(y-x)^2 dt.$$

Or

$$\begin{aligned} \sum_{x \in \mathbb{Z}^d} g_t(x)^2 &= \sum_{x \in \mathbb{Z}^d} \mathbb{P}(X_t = x \mid X_0 = 0) \mathbb{P}(X_t = 0 \mid X_0 = x) \\ &= \mathbb{P}(X_{2t} = 0 \mid X_0 = 0) = g_{2t}(0). \end{aligned}$$

De plus, pour $t \rightarrow \infty$,

$$g_{2t}(0) \sim (4\pi t)^{-d/2}.$$

$$\sigma^2 = \frac{1}{2N} \int_0^\infty e^{-2(s_1+s_2)t} g_{2t}(0) dt, \quad g_{2t}(0) \sim (4\pi t)^{-d/2}$$

Pour $s_1, s_2 \rightarrow 0$,

$$\sigma^2 = \frac{1}{2N} \int_0^\infty e^{-2(s_1+s_2)t} g_{2t}(0) dt, \quad g_{2t}(0) \sim (4\pi t)^{-d/2}$$

Pour $s_1, s_2 \rightarrow 0$,

- Si $d \geq 3$, $\sigma^2 = \frac{1}{2N} \int_0^\infty e^{-2(s_1+s_2)t} g_{2t}(0) dt \times \frac{1}{2N}$.

$$\sigma^2 = \frac{1}{2N} \int_0^\infty e^{-2(s_1+s_2)t} g_{2t}(0) dt, \quad g_{2t}(0) \sim (4\pi t)^{-d/2}$$

Pour $s_1, s_2 \rightarrow 0$,

- Si $d \geq 3$, $\sigma^2 \propto \frac{1}{2N}$.
- Si $d = 1$, $\sigma^2 = \frac{1}{2N} \int_0^\infty e^{-2t} \left(\frac{4\pi t}{s_1+s_2} \right)^{-1/2} \frac{dt}{s_1+s_2} \propto \frac{1}{2N\sqrt{s_1+s_2}}$.

$$\sigma^2 = \frac{1}{2N} \int_0^\infty e^{-2(s_1+s_2)t} g_{2t}(0) dt, \quad g_{2t}(0) \sim (4\pi t)^{-d/2}$$

Pour $s_1, s_2 \rightarrow 0$,

- Si $d \geq 3$, $\sigma^2 \propto \frac{1}{2N}$.
- Si $d = 1$, $\sigma^2 \propto \frac{1}{2N\sqrt{s_1 + s_2}}$.
- Si $d = 2$, $\sigma^2 = \frac{1}{2N} \int_{s_1+s_2}^C e^{-2t} \left(\frac{4\pi t}{s_1+s_2}\right)^{-1} \frac{dt}{s_1+s_2} \propto \frac{1}{2N} |\log(s_1 + s_2)|$.

$$\sigma^2 = \frac{1}{2N} \int_0^\infty e^{-2(s_1+s_2)t} g_{2t}(0) dt, \quad g_{2t}(0) \sim (4\pi t)^{-d/2}$$

Pour $s_1, s_2 \rightarrow 0$,

- Si $d \geq 3$, $\sigma^2 \propto \frac{1}{2N}$.
- Si $d = 1$, $\sigma^2 \propto \frac{1}{2N\sqrt{s_1 + s_2}}$.
- Si $d = 2$, $\sigma^2 \propto \frac{1}{2N} |\log(s_1 + s_2)|$.

$$\Delta = (s_1 + s_2)(q_t(x) - \lambda)^2$$

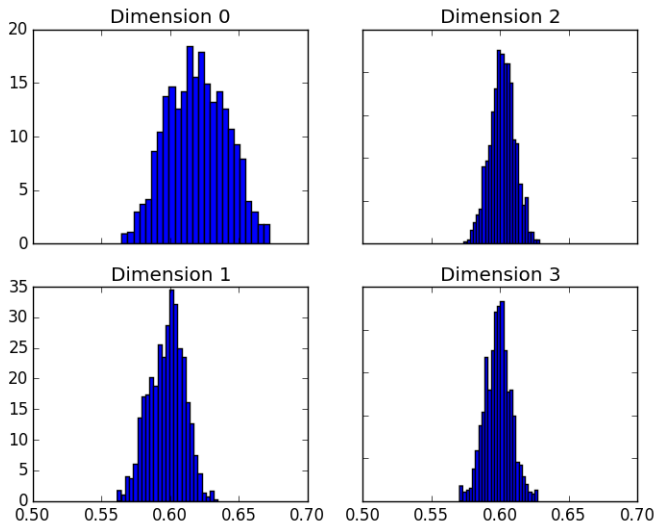
Théorème (Penington, F. '15)

Le fardeau de dérive dépend de la dimension de l'espace dans lequel la population évolue.

- Si $d = 1$, $\mathbb{E}[\Delta] \propto \frac{\sqrt{s_1 + s_2}}{2N}$.
- Si $d = 2$, $\mathbb{E}[\Delta] \propto \frac{1}{2N}(s_1 + s_2) |\log(s_1 + s_2)|$.
- Si $d \geq 3$, $\mathbb{E}[\Delta] \propto \frac{1}{2N}(s_1 + s_2)$.

Le flux de gènes réduit le fardeau de dérive.

Influence de la structure spatiale



- [FP15] R. F. and Sarah Penington. A central limit theorem for the spatial Lambda Fleming-Viot process with selection. *arXiv preprint arXiv :1512.06163*, 2015.
- [Nor74] M. Frank Norman. A central limit theorem for Markov processes that move by small steps. *The Annals of Probability*, pages 1065–1074, 1974.
- [Rob70] Alan Robertson. The reduction in fitness from genetic drift at heterotic loci in small populations. *Genetical research*, 15(02) :257–259, 1970.

Graphiques réalisés avec le package Matplotlib de John D. Hunter (2007).

Merci pour votre attention !